

東京大学 助教授 正員 伊藤 學
 東京大学 技官 博士 草原義博
 地力中央研究所 博士 支田純夫

1. 緒言

トラス桁の挾りについては従来までに、ブライヒと始め多くの研究者達により解析が行われている。それ等の研究に共通していることは「桁と構成しているトラス桁が上下および左右について対称である」と、つまり桁の断面についてみると=軸対称形の断面のものを取扱っている。床版付トラス桁についても研究が行われているのはやはり上記に類するものである。ところが実際に用いられる桁の断面は、=軸対称形のものは少く、むしろここで取上げた桁のように一軸対称形のものが多く用いられるようである。我々はそのような断面の桁(例えば、図-0、床版付トラス桁の固有振動)について、その挾りの挙動を追求するため床版とトラス桁強材に生ずる応力を次に述べるような方法を用いて解析し、同時に模型桁についてその挾れ变形並びに応力を測定し両者の結果を比較してみた。

2. 解析法

図-0のような桁全体を立体制的に解析するのは困難であるので、次に挙げたような仮定の下に計算を進めることにする。

仮定① トラス部分は「桁」の挾れに対し、曲げの変形により抵抗し、挾りにかけでは抵抗しない。

② 床版は曲げと生じないシャイベルとして作用し、トラス強材の応力を分担する。なお挾り变形による応力は考慮しない。

今、図-0のようすに座標系をとった時、床版には、シャイベルとしての応力 $\sigma_x, \sigma_y, \tau_{xy}$ (平面応力)が生じ強材には軸方向(x)応力 σ_{xz} が生ずるとすると、シャイベルにおける応力関数を $\varphi(x, y)$ とおくと $\sigma_x, \sigma_y, \tau_{xy}$ は

$$\sigma_x = \frac{\partial^2 \varphi}{\partial y^2}, \quad \sigma_y = -\frac{\partial^2 \varphi}{\partial x^2}, \quad \tau_{xy} = -\frac{\partial^2 \varphi}{\partial xy} \quad (1), 2, 3 \quad \text{となる。但し } \varphi(x, y) \text{ は}$$

$$\Delta \Delta \varphi = 0, \quad (\Delta = \frac{\partial^2}{\partial x^2} + \frac{\partial^2}{\partial y^2}) \quad (2) \text{ を満足するもので、こゝでは (2) の解を次の (3)}$$

のように選んでやる。 $\varphi(x, y) = \sum_n [A_n \cosh ny + B_n \sinh ny + C_n \cosh ny + D_n \sinh ny] \sin mx \quad (3)$

但し $\alpha = m\pi/l$, l : 実間長, $n = 1, 2, \dots \quad (4)$ これより (1), 2, 3 を計算しておくと次の式が得られる。

$$(5), 2, 3 \quad \begin{cases} \sigma_x = \frac{\partial^2 \varphi}{\partial y^2} = \sum_n \alpha^2 [A_n \cosh ny + B_n \sinh ny + C_n (2 \sinh ny + \alpha y \cosh ny) + D_n (2 \cosh ny + \alpha y \sinh ny)] \sin mx \\ \sigma_y = \frac{\partial^2 \varphi}{\partial x^2} = -\sum_n \alpha^2 [A_n \cosh ny + B_n \sinh ny + C_n y \cosh ny + D_n y \sinh ny] \sin mx \\ \tau_{xy} = -\frac{\partial^2 \varphi}{\partial xy} = -\sum_n \alpha [A_n \sinh ny + B_n \cosh ny + C_n (\cosh ny + \alpha y \sinh ny) + D_n (\sinh ny + \alpha y \cosh ny)] \cos mx \end{cases}$$

一方、トラス部の上に荷重 $p(x)$ がかかるたといた時、強材に生ずる応力を $P(x)$ とすると、実際には床版により $P(x)$ の一部が受け持たれるからその結果、床版付トラス桁の強材応力 σ_{xz} は次のようにな

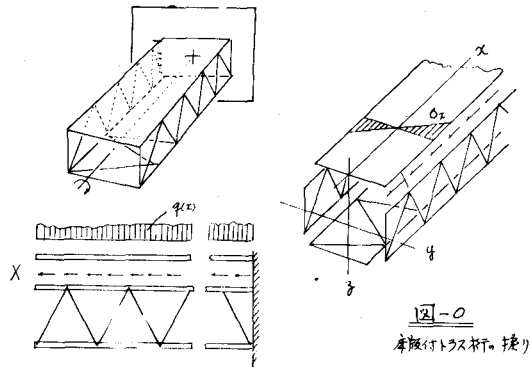


図-0
床版付トラス桁の挾り

3. $\sigma_{xc} = p(x) - X/F_c - \Delta$ —— (6) 但し $X = \int_0^b \sigma_x \cdot t \, dy$ —— (7) b : 床版中、 t : 厚さ
 F_c : 弦材断面積。 Δ : X により、反力曲げモーメントが生ずる。すなはち曲げ応力。(ここで注意)
 さて σ_x …をきめるために応力関数 $\psi(x,y)$ の形を決定する必要がある。これには次の条件を用ひる。

$$a) \quad \sigma_x|_y = -\sigma_x|_{-y}, \quad \left(\frac{\partial^2 \varphi}{\partial y^2}|_y = -\frac{\partial^2 \varphi}{\partial y^2}|_{-y} \right) : n \neq 1, \quad A_n, D_n = 0 \quad (8)$$

$$b) \quad \partial_y \Big|_{y=\pm\frac{b}{2}} = 0 \quad , \quad \left(\frac{\partial^2 \phi}{\partial x^2} \Big|_{y=\pm\frac{b}{2}} = 0 \right) \quad ; \quad \text{we get} \quad C_n/B_n = -\frac{d}{b} \tanh B \quad , \quad B = \frac{b}{2}x \quad --- (9)$$

$$c) \quad E_x|_{y=\frac{b}{2}} = E_{xc}, \quad E_x: \text{床版(次)拘束}, \quad E_{xc}: \text{弦材主}$$

$$k_B = (1+\nu) d^2 \sinh \beta + \frac{t}{F_C} d (\cosh \beta - 1), \quad \nu \text{ は ポアソン数}$$

$$k_1 = \alpha \left\{ 2 \sinh \beta + (1+\nu) \cosh \beta \right\} + \frac{t}{t_{fr}} \left\{ \cosh \beta + \beta \sinh \beta - 1 \right\}$$

$$B = \frac{P_m}{f} k_0 - \frac{\alpha}{k_0} b_0 \tan B' = (10) + 1/2$$

$$\text{泊松分布 } P(X = k) = \sum_{i=1}^k \frac{e^{-\lambda} \lambda^i}{i!} = 611.$$

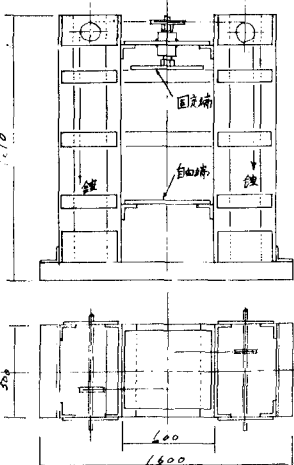
方法二：用图解法求解。

3. 美腺及び結果について

3. 美腺及び結果につれて

2で行った解析の妥当性を検討するために図-1に示すよろな、三面フリーレンディル析について(床版のみ付いたもの)と(床版なし)の場合について歪形(回転)とダイヤルゲージによる差分布ならびに変形(回転)の測定を行った。試験装置は図-2に示す如きものである。その測定結果の一例を紹介すると、図-3, 4の如くとなる。(床版における歪形分布については省略) 図-5は床版付の析についてその強材に生ずる応力分布を示したもので、津田角析の場合の比較の意味で同じ外カトルクの値に対して、大体同じ歪形(θ)を示すもののた

図-2 振り試験機



線に（示して）
おいた。これ
で御ると一般
の準則とは
明らかに不合
する異なりである
(トラス部の威力
からて、トラス部
は「折」の様りにな
し、大体曲げ變形
により破壊している
とかゆかる。

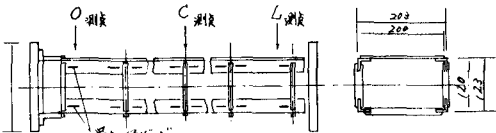


图-1

横型軌跡図 測候(データ)位置

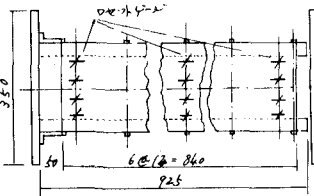
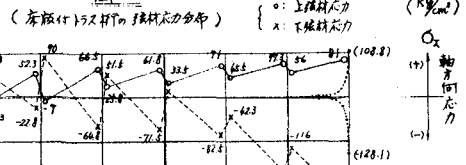


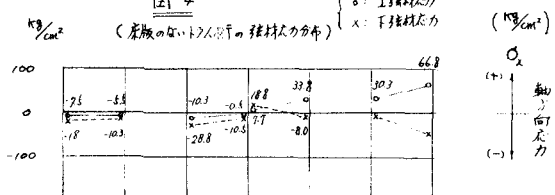
圖-3



L *C*

(c) 内の数値は $M_T(600)$ に対する大体同じ变形 (D) と

14



但 $\exists x \forall y A(x, y)$ 是正确的